

Starkniederschlagshöhen und -spenden gemäß KOSTRA-DWD-2020

Rasterfeld 187127

(Zeile 187, Spalte 127)

Regenspende und Bemessungsniederschlagswerte in Abhängigkeit von Wiederkehrzeit T und Dauerstufe D

| Dauerstufe D | | Wiederkehrzeit T | | | | | | | | | | | | | | | | | |
|--------------|-----|------------------|------------|------|------------|------|------------|------|------------|-------|------------|-------|------------|-------|------------|-------|------------|-------|------------|
| | | 1 a | | 2 a | | 3 a | | 5 a | | 10 a | | 20 a | | 30 a | | 50 a | | 100 a | |
| min | Std | mm | l / (s ha) | mm | l / (s ha) | mm | l / (s ha) | mm | l / (s ha) | mm | l / (s ha) | mm | l / (s ha) | mm | l / (s ha) | mm | l / (s ha) | mm | l / (s ha) |
| 5 | | 6,1 | 203,3 | 7,5 | 250,0 | 8,4 | 280,0 | 9,6 | 320,0 | 11,4 | 380,0 | 13,1 | 436,7 | 14,3 | 476,7 | 15,8 | 526,7 | 18,0 | 600,0 |
| 10 | | 8,5 | 141,7 | 10,6 | 176,7 | 11,9 | 198,3 | 13,5 | 225,0 | 16,0 | 266,7 | 18,5 | 308,3 | 20,1 | 335,0 | 22,2 | 370,0 | 25,3 | 421,7 |
| 15 | | 10,1 | 112,2 | 12,5 | 138,9 | 14,0 | 155,6 | 16,0 | 177,8 | 18,8 | 208,9 | 21,8 | 242,2 | 23,7 | 263,3 | 26,2 | 291,1 | 29,9 | 332,2 |
| 20 | | 11,2 | 93,3 | 13,9 | 115,8 | 15,6 | 130,0 | 17,8 | 148,3 | 21,0 | 175,0 | 24,2 | 201,7 | 26,4 | 220,0 | 29,2 | 243,3 | 33,2 | 276,7 |
| 30 | | 12,8 | 71,1 | 16,0 | 88,9 | 17,9 | 99,4 | 20,4 | 113,3 | 24,1 | 133,9 | 27,8 | 154,4 | 30,3 | 168,3 | 33,5 | 186,1 | 38,1 | 211,7 |
| 45 | | 14,6 | 54,1 | 18,1 | 67,0 | 20,3 | 75,2 | 23,2 | 85,9 | 27,3 | 101,1 | 31,6 | 117,0 | 34,4 | 127,4 | 38,1 | 141,1 | 43,3 | 160,4 |
| 60 | 1 | 15,9 | 44,2 | 19,7 | 54,7 | 22,1 | 61,4 | 25,2 | 70,0 | 29,8 | 82,8 | 34,4 | 95,6 | 37,4 | 103,9 | 41,4 | 115,0 | 47,2 | 131,1 |
| 90 | 1,5 | 17,8 | 33,0 | 22,1 | 40,9 | 24,8 | 45,9 | 28,3 | 52,4 | 33,4 | 61,9 | 38,6 | 71,5 | 42,0 | 77,8 | 46,5 | 86,1 | 52,9 | 98,0 |
| 120 | 2 | 19,3 | 26,8 | 24,0 | 33,3 | 26,8 | 37,2 | 30,6 | 42,5 | 36,1 | 50,1 | 41,8 | 58,1 | 45,5 | 63,2 | 50,3 | 69,9 | 57,2 | 79,4 |
| 180 | 3 | 21,5 | 19,9 | 26,7 | 24,7 | 29,9 | 27,7 | 34,2 | 31,7 | 40,3 | 37,3 | 46,5 | 43,1 | 50,7 | 46,9 | 56,1 | 51,9 | 63,8 | 59,1 |
| 240 | 4 | 23,2 | 16,1 | 28,8 | 20,0 | 32,3 | 22,4 | 36,8 | 25,6 | 43,4 | 30,1 | 50,2 | 34,9 | 54,6 | 37,9 | 60,5 | 42,0 | 68,8 | 47,8 |
| 360 | 6 | 25,8 | 11,9 | 32,0 | 14,8 | 35,9 | 16,6 | 40,9 | 18,9 | 48,2 | 22,3 | 55,8 | 25,8 | 60,7 | 28,1 | 67,2 | 31,1 | 76,4 | 35,4 |
| 540 | 9 | 28,6 | 8,8 | 35,5 | 11,0 | 39,8 | 12,3 | 45,4 | 14,0 | 53,5 | 16,5 | 61,9 | 19,1 | 67,4 | 20,8 | 74,5 | 23,0 | 84,8 | 26,2 |
| 720 | 12 | 30,8 | 7,1 | 38,2 | 8,8 | 42,8 | 9,9 | 48,9 | 11,3 | 57,6 | 13,3 | 66,6 | 15,4 | 72,5 | 16,8 | 80,2 | 18,6 | 91,3 | 21,1 |
| 1080 | 18 | 34,1 | 5,3 | 42,3 | 6,5 | 47,5 | 7,3 | 54,2 | 8,4 | 63,9 | 9,9 | 73,8 | 11,4 | 80,4 | 12,4 | 88,9 | 13,7 | 101,2 | 15,6 |
| 1440 | 24 | 36,7 | 4,2 | 45,5 | 5,3 | 51,0 | 5,9 | 58,3 | 6,7 | 68,7 | 8,0 | 79,4 | 9,2 | 86,4 | 10,0 | 95,6 | 11,1 | 108,8 | 12,6 |
| 2880 | 48 | 43,7 | 2,5 | 54,3 | 3,1 | 60,8 | 3,5 | 69,4 | 4,0 | 81,8 | 4,7 | 94,6 | 5,5 | 103,0 | 6,0 | 113,9 | 6,6 | 129,6 | 7,5 |
| 4320 | 72 | 48,4 | 1,9 | 60,1 | 2,3 | 67,3 | 2,6 | 76,9 | 3,0 | 90,6 | 3,5 | 104,8 | 4,0 | 114,0 | 4,4 | 126,2 | 4,9 | 143,6 | 5,5 |
| 5760 | 96 | 52,0 | 1,5 | 64,6 | 1,9 | 72,4 | 2,1 | 82,6 | 2,4 | 97,4 | 2,8 | 112,6 | 3,3 | 122,6 | 3,5 | 135,7 | 3,9 | 154,4 | 4,5 |
| 7200 | 120 | 55,0 | 1,3 | 68,3 | 1,6 | 76,6 | 1,8 | 87,4 | 2,0 | 103,0 | 2,4 | 119,1 | 2,8 | 129,7 | 3,0 | 143,5 | 3,3 | 163,3 | 3,8 |
| 8640 | 144 | 57,6 | 1,1 | 71,5 | 1,4 | 80,2 | 1,5 | 91,5 | 1,8 | 107,9 | 2,1 | 124,7 | 2,4 | 135,8 | 2,6 | 150,2 | 2,9 | 170,9 | 3,3 |
| 10080 | 168 | 59,9 | 1,0 | 74,4 | 1,2 | 83,3 | 1,4 | 95,1 | 1,6 | 112,1 | 1,9 | 129,6 | 2,1 | 141,1 | 2,3 | 156,2 | 2,6 | 177,7 | 2,9 |

Starkniederschlagshöhen und -spenden gemäß KOSTRA-DWD-2020

Rasterfeld 187127

(Zeile 187, Spalte 127)

Örtliche Unsicherheiten in Abhängigkeit von Wiederkehrzeit T und Dauerstufe D

| Dauerstufe D | | Wiederkehrzeit T | | | | | | | | |
|--------------|-----|------------------|-----|-----|-----|------|------|------|------|-------|
| | | 1 a | 2 a | 3 a | 5 a | 10 a | 20 a | 30 a | 50 a | 100 a |
| min | Std | ± % | ± % | ± % | ± % | ± % | ± % | ± % | ± % | ± % |
| 5 | | 13 | 12 | 13 | 13 | 13 | 14 | 14 | 14 | 15 |
| 10 | | 13 | 15 | 15 | 16 | 17 | 18 | 18 | 19 | 19 |
| 15 | | 15 | 17 | 18 | 19 | 20 | 20 | 21 | 21 | 22 |
| 20 | | 17 | 18 | 19 | 20 | 21 | 22 | 22 | 23 | 23 |
| 30 | | 18 | 20 | 21 | 22 | 23 | 23 | 24 | 24 | 25 |
| 45 | | 19 | 21 | 22 | 23 | 24 | 24 | 25 | 25 | 26 |
| 60 | 1 | 19 | 21 | 22 | 23 | 24 | 25 | 25 | 25 | 26 |
| 90 | 1,5 | 19 | 20 | 21 | 22 | 23 | 24 | 25 | 25 | 26 |
| 120 | 2 | 18 | 20 | 21 | 22 | 23 | 24 | 24 | 25 | 25 |
| 180 | 3 | 17 | 19 | 20 | 21 | 22 | 23 | 24 | 24 | 25 |
| 240 | 4 | 17 | 18 | 19 | 20 | 21 | 22 | 23 | 23 | 24 |
| 360 | 6 | 16 | 17 | 18 | 19 | 20 | 21 | 22 | 22 | 23 |
| 540 | 9 | 15 | 17 | 17 | 18 | 19 | 20 | 21 | 21 | 22 |
| 720 | 12 | 14 | 16 | 17 | 18 | 19 | 19 | 20 | 20 | 21 |
| 1080 | 18 | 14 | 15 | 16 | 17 | 18 | 18 | 19 | 19 | 20 |
| 1440 | 24 | 14 | 15 | 15 | 16 | 17 | 18 | 18 | 19 | 19 |
| 2880 | 48 | 14 | 14 | 15 | 15 | 16 | 17 | 17 | 18 | 18 |
| 4320 | 72 | 14 | 15 | 15 | 15 | 16 | 17 | 17 | 17 | 18 |
| 5760 | 96 | 15 | 15 | 15 | 16 | 16 | 17 | 17 | 17 | 18 |
| 7200 | 120 | 16 | 16 | 16 | 16 | 16 | 17 | 17 | 17 | 18 |
| 8640 | 144 | 16 | 16 | 16 | 16 | 17 | 17 | 17 | 17 | 18 |
| 10080 | 168 | 17 | 16 | 16 | 17 | 17 | 17 | 17 | 18 | 18 |

Parameter für abweichende T und D

Lokationsparameter ξ (Xi)

16,54302504

Skalenparameter α (Alpha)

5,56914525

Formparameter κ (Kappa)

-0,1

1. Koutsoyiannis-Parameter θ (Theta)

0,05474742

2. Koutsoyiannis-Parameter η (Eta)

0,74882184

Parameter für dauerstufenübergreifende Extremwertschätzung nach KOUTSOYIANNIS et al. 1998.

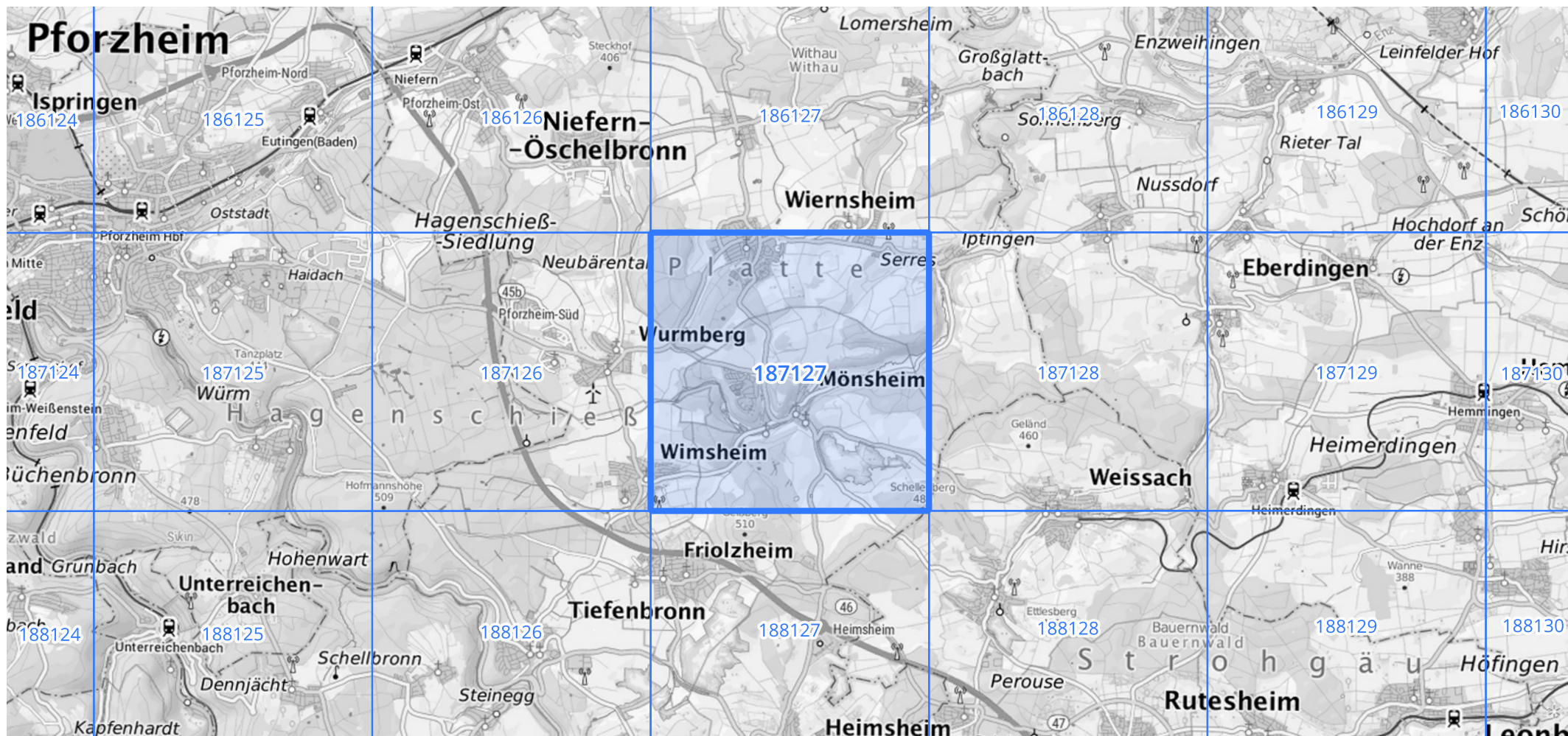
Siehe auch Anwendungshilfe zu KOSTRA-DWD-2020 des Deutschen Wetterdienstes.

Starkniederschlagshöhen und -spenden gemäß KOSTRA-DWD-2020

Rasterfeld 187127

(Zeile 187, Spalte 127)

Übersichtskarte des Rasterfeldes 187127, M 1 : 100 000



Quelle Rasterdaten: KOSTRA-DWD-2020 des Deutschen Wetterdienstes, Stand 12/2022.

Seite 3 von 3

Kartendarstellung: © Bundesamt für Kartographie und Geodäsie (2023), Datenquellen: https://sgx.geodatenzentrum.de/web_public/gdz/datenquellen/Datenquellen_TopPlusOpen.html

Für die Richtigkeit und Aktualität der Angaben wird keine Gewähr übernommen. Erstellt 01/2023.